

УДК 539.1.074.3

Д. С. ВАЛИОЛДА<sup>1</sup>, Д. М. ДЖАНСЕЙТОВ<sup>2</sup>, А. Н. ИСАДЫКОВ<sup>2</sup>(<sup>1</sup>Казахский национальный университет им. аль-Фараби, Алматы, Казахстан,(<sup>2</sup>Евразийский национальный университет им.Л. Н. Гумилева, Астана, Казахстан)

## ИССЛЕДОВАНИЕ ХАРАКТЕРИСТИК ГАММА СПЕКТРОМЕТРОВ НА ПУЧКАХ РАДИОАКТИВНЫХ ЯДЕР

**Аннотация.** В работе исследуются характеристики неорганических сцинтилляционных детекторов LaBr<sub>3</sub>(Ce) (BriLanCe 380), нацеленных на регистрацию гамма квантов в эксперименте по изучению двух протонного распада <sup>17</sup>Ne на установке АКУЛИНА (ЛЯР им. Г. Н Флерова, ОИЯИ). Приводятся результаты калибровки детекторов LaBr<sub>3</sub>(Ce) источниками гамма излучения <sup>60</sup>Co и <sup>137</sup>Cs. Определены эффективность регистрации детекторов и определена методика работы с данным детектором.

**Ключевые слова:** протонная радиоактивность, фрагмент сепаратор, вторичные радиоактивные пучки, фотоэлектронный умножитель, система TOF (Time-of-flight), сцинтилляционный детектор, неорганический сцинтиллятор BriLanCe 380.

**Тірек сөздер:** протондық радиоактивтілік, фрагмент сепаратор, екінші ретті радиоактивті шоғырлар, фотоэлектрондың көбейткіш, TOF (Time-of-flight) жүйесі, сцинтилляциялық детектор, BriLanCe 380 бейорганикалық сцинтилляторы.

**Keywords:** spectroscopy of charged particles, proton radioactivity, fragment separator, secondary radioactive beam, PMT, TOF (Time-of-flight) system, scintillation detector, inorganic scintillators of CsI(Tl), BriLanCe 380, Doppler effect.

Проводимая работа является частью научно-исследовательской деятельности по исследованию характеристик гамма – спектрометров для установки АКУЛИНА [1]. В ЛЯР имени Г. Н. Флерова (ОИЯИ) на сепараторе АКУЛИНА проводятся исследования в области экзотических ядер. Особенно наибольший интерес связан с изучением двух протонного распада ядер. В начале 2013 г. был проведен эксперимент по изучению двух протонного распада <sup>17</sup>Ne[2].

Данный эксперимент предусматривает экспериментальный поиск ветви двухпротонного распада первого возбужденного состояния ядра <sup>17</sup>Ne, находящегося при энергии возбуждения E\* = 1,288 МэВ и имеющего спин/четность J<sup>π</sup>=3/2<sup>+</sup>. Энергия двухпротонного распада этого состояния <sup>17</sup>Ne равняется 344 КэВ. Главной известной ветвью этого распада является гамма распад. Последовательное испускание двух протонов, при котором сначала должна получиться система <sup>16</sup>F+p, а вслед за этим <sup>16</sup>F распался бы на <sup>15</sup>O+p, запрещено законом сохранения энергии. Таким образом, это состояние в сильном канале является истинно двухпротонным распадчиком. В данном эксперименте предлагается искать слабую ветвь истинно двухпротонного распада этого состояния в реакций <sup>1</sup>H(<sup>18</sup>Ne, d)<sup>17</sup>Ne [2].

В данном эксперименте использовались несколько типов детектирующих устройств для регистрации продуктов распада и идентификаций ионов. Для регистрации гамма квантов используются 2 детектора состоящие из сцинтиллятора LaBr<sub>3</sub>(Ce)[3] и ФЭУ компании HamamatsuR7600-U200, расположенные на расстоянии 50мм от мишени (рисунок 1).

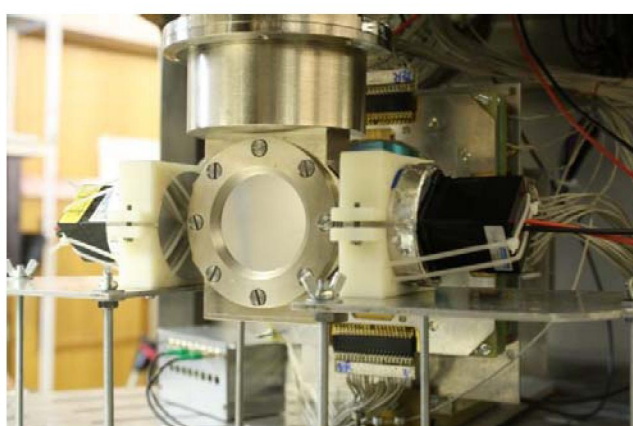


Рисунок 1 – Детекторы из сцинтиллятора LaBr<sub>3</sub>(Ce) в эксперименте

Детекторы  $\text{LaBr}_3(\text{Ce})$  нацелены на регистрацию гамма квантов, испускаемых из первого возбужденного состояния  $^{17}\text{Ne}$  с известной энергией 1.288 МэВ [2]. Эффективность регистрации крайне сложно оценить, пользуясь известными литературными формулами [4], для данного эксперимента легче эффективность регистрации извлечь из померенных данных, так как в случае метода вторичных пучков есть множество факторов (например, прохождение гамма квантов через вещество (меди) мишени), которые могут ослабить гамма излучение, есть трудности с их определением (например, трудно оценить толщину этого вещества). Эти факторы могут повлиять на оценку эффективности регистрации детекторов. Определение эффективности регистрации важно для определения сечения заселения первого возбужденного состояния  $^{17}\text{Ne}$  в данном эксперименте. Обработанные данные являются частью обработки экспериментальных данных.

**1. Калибровка и фитирование детекторов  $\text{LaBr}_3(\text{Ce})$ .** Для калибровки данного детектора использовались источники гамма-излучения  $^{60}\text{Co}$  и  $^{137}\text{Cs}$ . На рисунке 2 представлены калибровочные спектры  $^{60}\text{Co}$  и  $^{137}\text{Cs}$ , измеренные для детекторов  $\text{LaBr}_3(\text{Ce})$ , приводятся результаты фитирования программой ROOT [6] для каждого пика гамма-излучения. Для калибровки экспериментальных данных, также нужно учитывать аннигиляцию позитрона с  $E = 511 \text{ KeV}$  в спектре гамма излучения.

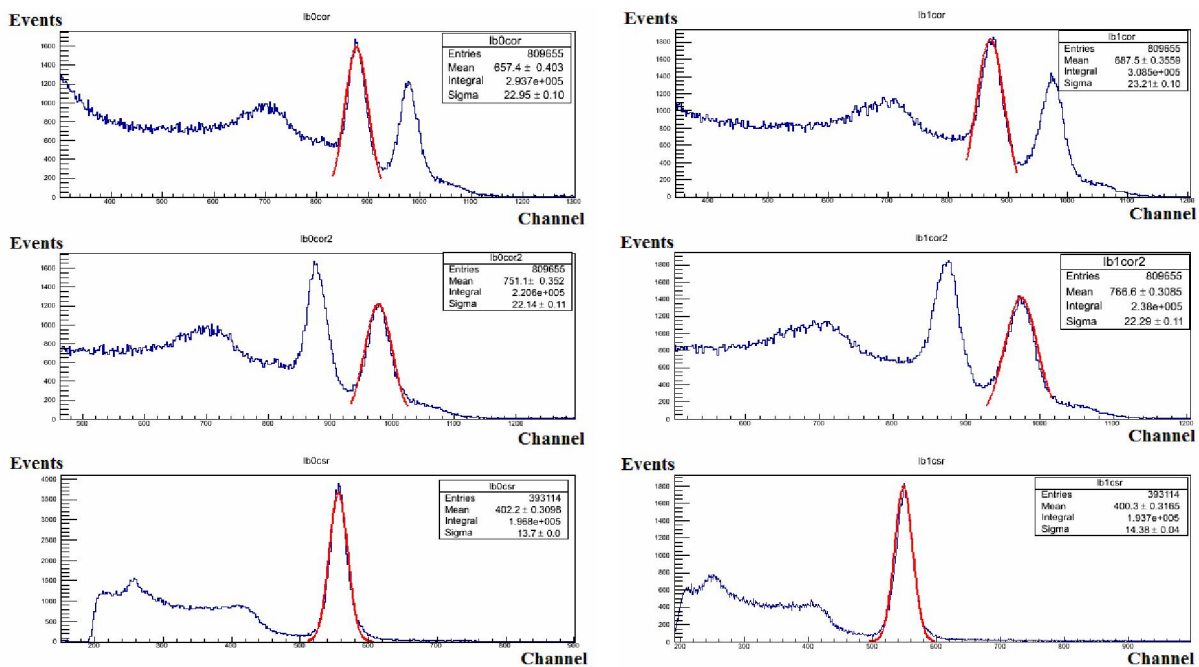


Рисунок 2 – Калибровка первого(слева) и второго(справа) детекторов  $\text{LaBr}_3(\text{Ce})$  источниками  $\gamma$ -квантов:  $^{60}\text{Co}$  и  $^{137}\text{Cs}$ . Фитирование пиков 1)  $E_\gamma = 1170 \text{ KeV}$ , 2)  $E_\gamma = 1330 \text{ KeV}$ , 3)  $E_\gamma = 660 \text{ KeV}$

Линейная зависимость между номером канала и энергией  $E = BX + A$  (1) строится для каждого детектора для определения калибровочных коэффициентов. В результате сопоставления каналов и энергий были найдены калибровочные коэффициенты: для первого  $\text{LaBr}_3(\text{Ce})$  пьедестал  $A = -242.82 \text{ кэВ}$ ; наклон  $B = 1.61 \text{ кэВ/канал}$ , для второго: пьедестал  $A = -265.09 \text{ кэВ}$ ; наклон  $B = 1.65 \text{ кэВ/канал}$ . Далее используя эти полученные калибровочные коэффициенты (таблица 1) и линейное уравнение (1), в программе ROOT переводим калибровочные спектры в энергетическую шкалу.

Таблица 1 – Калибровочные коэффициенты для двух детекторов

$E_\gamma[\text{KeV}]$	$X[\text{Ch}]$	$\sigma$	ПШПМ
660 ( $^{137}\text{Cs}$ )	556.2	13.7	32.3
1170 ( $^{60}\text{Co}$ )	877.1	22.7	53.5
1330 ( $^{60}\text{Co}$ )	977.7	22.1	52.0

$E_\gamma[\text{KeV}]$	$X[\text{Ch}]$	$\sigma$	ПШПМ
660 ( $^{137}\text{Cs}$ )	548,96	14,37	33.84
1170 ( $^{60}\text{Co}$ )	870,90	23,25	54.75
1330 ( $^{60}\text{Co}$ )	974,50	22,80	53.69

Для проверки калибровки спектров источника гамма квантов построим суперпозицию спектров  $^{60}\text{Co}$  и  $^{137}\text{Cs}$ . Для того, чтобы получить спектры в одной шкале находим нормировочные коэффициенты из сравнения числа событий для каждого источника. Тогда получаем, что нормировочные коэффициенты  $C(^{60}\text{Co})=1$ ;  $C(^{137}\text{Cs})=0.5$ . Затем используя команду сложения гистограмм в программе ROOT - Add(const TH1\* h, const TH1\* h2, Double\_t c1 = 1, Double\_t c2 = 0.5)[6], получаем следующие графики (рис.3) суперпозиций спектров от  $\gamma$  источников  $^{60}\text{Co}$  и  $^{137}\text{Cs}$  для каждого детектора. В графике приведены значения пиков, полученные после проведения калибровки и фитирования.

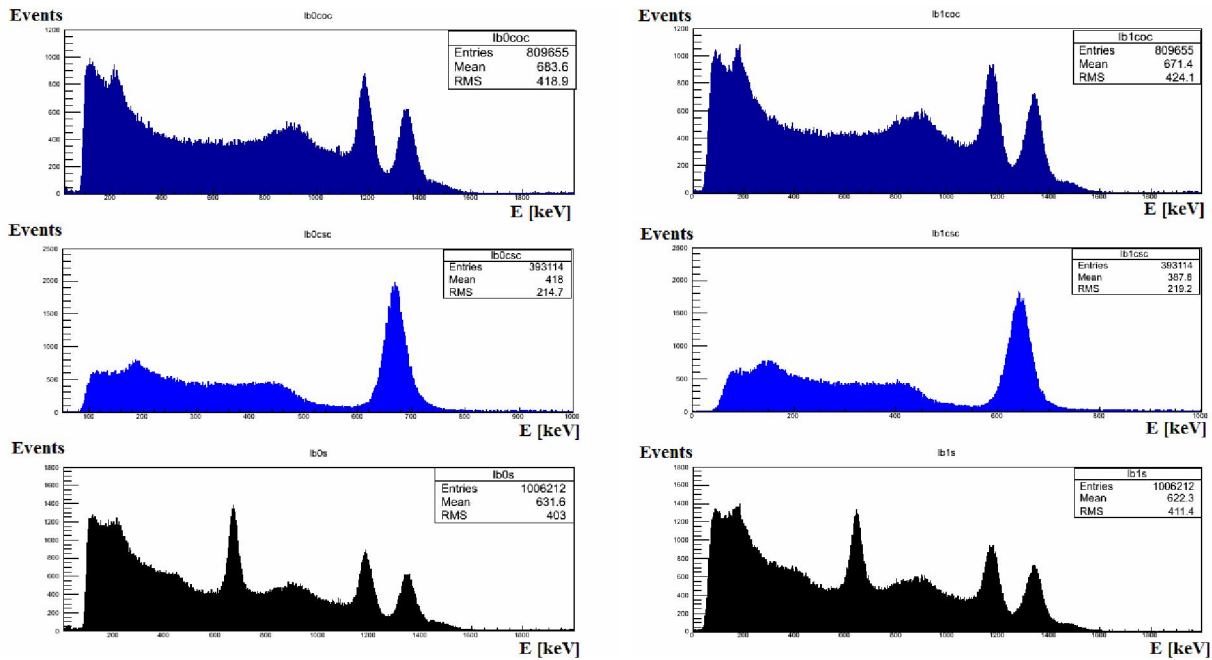


Рисунок 3 – Калибровка детекторов  $\text{LaBr}_3(\text{Ce})$  источниками  $\gamma$  – квантов: a)  $^{60}\text{Co}$ ; b)  $^{137}\text{Cs}$ ; c) суперпозиция спектров от  $\gamma$  источников  $^{60}\text{Co}$  и  $^{137}\text{Cs}$ ; Нормировочные коэффициенты  $C(^{60}\text{Co})=1$ ;  $C(^{137}\text{Cs})=0.5$

Как уже отмечалось выше, первое возбужденное состояние  $^{17}\text{Ne}$  распадается с испусканием гамма кванта с энергией 1,288 MeV. Т.е. регистрация гамма квантов с этой энергией дает возможность оценки сечения заселения первого возбужденного состояния  $^{17}\text{Ne}$ . Для оценки сечения нужно определить эффективность регистрации детекторов.

Определение эффективности регистрации для данного эксперимента учитывается в предположении, что произойдет процесс аннигиляций позитрона. В данном эксперименте позитрон может образоваться за счет образования электрон-позитронной пары. Появившиеся позитроны могут остановиться на мишени (много факторов этому способствует, например, материал мишени - медь, жидкую мишень и т.д.) и далее в результате аннигиляций остановившегося позитрона испускаются 2 гамма кванта с энергией 511 кэВ в противоположные стороны. Можно зарегистрировать эти гамма кванты детекторами  $\text{LaBr}_3(\text{Ce})$ .

Если в один детектор попадает один гамма квант, то во второй детектор также попадает второй гамма квант. Значит, отношение событий зарегистрированных гамма квантов в двух детекторах дает информацию об эффективности регистрации.

Для оценки эффективности регистрации детекторов зададим временные условия. Для этого строим двумерные графики зависимости времени от амплитуды (рисунок 4). В (1) графике построены свои амплитуды для каждого детектора в зависимости от своих времен. Времена переведены в шкалу нс. Здесь (выделенная красным область) соответствует мгновенным гамма квантам, испускаемым из возбужденного состояния

$^{17}\text{Ne}$ . Широкая полоса (выделена стрелкой) показывает, что есть случайные совпадения с пиком аннигиляций позитрона (511 кэВ). Увеличивая эту область, во втором графике (2) видим, что выделенное пятно соответствует гамма квантам, испущенных в результате аннигиляций позитрона. В графике (3) учитывали условие совпадения гамма квантов в обоих детекторах, построены

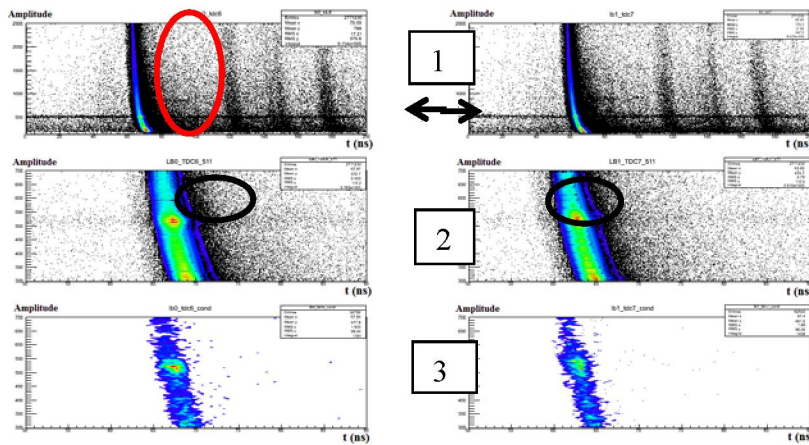


Рисунок 4 – Амплитудно-временной спектр

графики при правильной амплитуде и времени в другом детекторе. Видно, что примесь случайных событий почти исчезла, но есть вклад фона самого детектора.

Для определения числа событий в пике 511 кэВ без фона использовался пакет программ Origin. С помощью команды baseline отрезаем фон, и фитируем в форме Гаусса пик аннигиляций позитрона. Используя данные и параметры фитирования, считаем площадь пика, т.е. интегрируем данную область. В результате получается число событий в пике аннигиляций  $e^+$ . Данная процедура выполняется для всех 4-х условий. Далее как уже упоминали, поделив число событий, когда гамма квант попал в оба детектора на число гамма квантов в первом/втором детекторе получаем значения эффективности регистрации ( $\epsilon$ ):

$$\epsilon = ,3229/-170093 = 1,9\% \text{ для первого детектора, } \epsilon = 2883/162906 = 1,8\% \text{ для второго детектора.}$$

Для определения эффективности регистрации из экспериментальных данных с заданной энергией, т.е.  $E_\gamma=1,3$  МэВ, нужно ввести поправку, учитывающую эффективность поглощения детектора Brilliance 380 и проходимость гамма квантов через слой вещества.

Для определения первой поправки пользуемся графиком (рисунок 5) зависимости эффективности поглощения от энергии [5]. В данном случае размер кристалла составляет 2 дюйма. Для этого размера смотрим эффективность поглощения для энергии 1,3 МэВ (энергия гамма кванта,

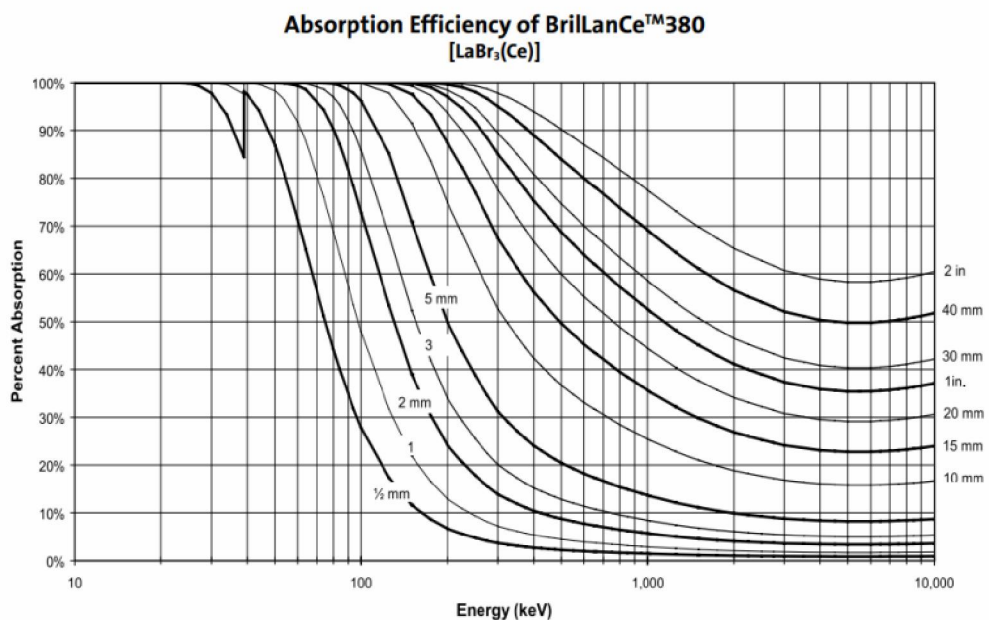


Рисунок 5 – Эффективность поглощения детекторов LaBr<sub>3</sub>(Ce) [6]

испущеного из первого возбужденного состояния  $^{17}\text{Ne}$ ) и для 511 кэВ (процесс аннигиляций позитрона). Для первого находим, что порядка 57%, т.е. 0,57; для энергии 511 кэВ порядка 90%, т.е. 0,9. далее находим отношение коэффициентов поглощения, и это будет первой поправкой для определения эффективности регистрации гамма квантов с энергией 1,3 МэВ.

$$\text{Поправка 1} = ,0,57/-0,90.=0,63$$

Для определения второй поправки рассматриваем процесс прохождения гамма квантов через слой вещества. В данном случае в качестве вещества будет материал мишени – медь. Далее, используя литературную формулу [4] для данного процесса:  $I(x)=I(0) \cdot e^{-\mu x}$ , ослабление интенсивности ( $I$ ) падающего пучка фотонов в зависимости от толщины слоя вещества. Линейный коэффициент ослабления  $\mu$  находится из табличных значений [5], соответственно для каждой энергии гамма квантов:

$$\mu(E_\gamma = 1.3 \text{ МэВ}) = 0,522; \mu(E_\gamma = 0.5 \text{ МэВ}) = 0,732;$$

толщина вещества для данного случая  $x=1$  см. Тогда отношение интенсивностей пучка даёт нам значение второй поправки.

$$\text{Поправка 2} = I_1/I_2 = e^{(\mu_2 - \mu_1)x} = 1,21$$

- 1) Тогда общая поправка будет на коэффициент 0,76. Т.е. ослабление эффективности на 25%.
- 2) Далее с учетом этой поправки находим эффективность регистрации гамма квантов с энергией 1.3 МэВ:  
 $\varepsilon_1 = 1,9 * 0,76 = 1,44 \sim 1,4\%$   
 $\varepsilon_2 = 1,8 * 0,76 = 1,36 \sim 1,4\%$

**Заключение.** В результате проделанной работы выполнена калибровка сцинтилляционного детектора  $\text{LaBr}_3(\text{Ce})$  источниками гамма-лучей  $^{60}\text{Co}$  и  $^{137}\text{Cs}$  и по пику аннигиляций позитрона.

Определен верхний предел временного разрешения детекторов, при условии совпадения гамма квантов аннигиляций позитрона: 1,7 нс для обоих детекторов. Для одного детектора временное разрешение составит 1,4 нс.

Определение эффективности регистрации детекторов  $\text{LaBr}_3(\text{Ce})$  была выполнена, в предположении об источнике гамма квантов вблизи мишени. Реальное вычисление эффективности затруднено наличием неравномерного количества материала мишени (меди) из экспериментальных данных. Для определения эффективности предполагалась аннигиляция позитрона с испусканием  $2\gamma$  квантов в противоположные стороны. Расположение детекторов позволяет учитывать данный процесс. Учитывая условие совпадения числа  $\gamma$  квантов в обоих детекторах  $\text{LaBr}_3(\text{Ce})$ , определены значения эффективности регистрации для энергии аннигиляций позитрона: 1.9 и 1.8% соответственно для каждого детектора.

В результате с учетом поправки определено значение эффективности регистрации гамма квантов с энергией 1,3 МэВ, равное 1,4% для детекторов Brilliance 380.

## ЛИТЕРАТУРА

- 1 A.M. Rodin et al. Status of ACCULINNA beam line. Nucl.Inst. and Meth.in Physics ReaserchB204 (2003) 114-118.
- 2 L. V. Grigorenko et. al – Possibility to study a two-proton halo in  $^{17}\text{Ne}$  - PHYSICAL REVIEW C 71, 051604(R) (2005).
- 3 <http://www.detectors.saint-gobain.com>.
- 4 К.Н. Мухин Экспериментальная ядерная физика Т.1. Физика атомного ядра. – Москва, Лань, 2008. - 384 с.
- 5 Efficiency calculations for selected scintillators, <http://www.detectors.saint-gobain.com>.
- 6 <http://root.cern.ch/>

## REFERENCES

- 1 A.M. Rodin et al. Status of ACCULINNA beam line. Nucl.Inst. and Meth.in Physics Reaserch B204 (2003) 114-118.
- 2 L. V. Grigorenko et. al – Possibility to study a two-proton halo in  $^{17}\text{Ne}$  - PHYSICAL REVIEW C 71, 051604(R) (2005).
- 3 <http://www.detectors.saint-gobain.com>.
- 4 K.N. Muhin Jeksperimental'naja jadernaja fizika T.1. Fizika atomnogo jadra. – Moskva, Lan', 2008. - 384 s. (In Russ)
- 5 Efficiency calculations for selected scintillators, <http://www.detectors.saint-gobain.com>.
- 6 <http://root.cern.ch/>

## Резюме

Д. С. Валиолда<sup>1</sup>, Д. М. Жансейитов<sup>2</sup>, А. Н. Исадыков<sup>2</sup>

(<sup>1</sup>Әл-Фараби атындағы Қазақ ұлттық университеті, Алматы, Казахстан,

<sup>2</sup>Еуразия ұлттық университеті, Астана, Қазақстан)

## РАДИОАКТИВТІ ЯДРОЛАР ШОҒЫРЫНДА ГАММА-СПЕКТРОМЕТРЛАР СИПАТТАМАСЫН ЗЕРТТЕУ

Жұмыста АКУЛИНА құрылғысында (Г.Н. Флеров атындағы ЯРЛ, БЯЗИ) еткізілген,  $^{17}\text{Ne}$  ядроның қос протонды ыдырауын зерттеуге бағытталған тәжірибеде гамма кванттарын тіркеуге арналған LaBr<sub>3</sub>(Ce) (Brillance 380) бейорганикалық сцинтилляциялық детекторларының сипаттамалары зерттеледі. LaBr<sub>3</sub>(Ce) детекторларының  $^{60}\text{Co}$  пен  $^{137}\text{Cs}$  гамма сәулелерінің көзімен калибрлеу нәтижелері көтірілген. Бұл детекторлармен жұмыс істеу әдістемелері мен олардың тіркеу нәтижелілігі анықталған.

**Тірек сөздер:** протондық радиоактивтілік, фрагмент сепаратор, екінші ретті радиоактивті шоғырлар, фотоэлектронды қебейткіш, TOF (Time-of-flight) жүйесі, сцинтилляциялық детектор, BriLanCe 380 бейорганикалық сцинтилляторы.

## Summary

D. S. Valiolda<sup>1</sup>, D. M. Janseitov<sup>2</sup>, A. N. Issadykov<sup>2</sup>

(<sup>1</sup>Al Farabi Kazakh National University, Almaty, Kazakhstan,

<sup>2</sup>Eurasian National University, Astana, Kazakhstan)

## THE STUDY OF CHARACTERISTICS OF GAMMA SPECTROSCOPY IN RADIOACTIVE BEAM

This paper examines the characteristics of inorganic scintillation detectors LaBr<sub>3</sub>(Ce)(BriLanCe 380), aimed at the registration of gamma rays in the experimental study of the two proton decay of  $^{17}\text{Ne}$  in ACCULINNA (G.N. Flerov LNR, JINR). The results of LaBr<sub>3</sub>(Ce) detector's calibration with gamma-ray sources of  $^{60}\text{Co}$  and  $^{137}\text{Cs}$  is presented. The efficiency of the detector was determined and methods of working with the detector are defined.

**Keywords:**spectroscopy of charged particles, proton radioactivity, fragment separator, secondary radioactive beam, PMT, TOF (Time-of-flight) system, scintillation detector, inorganic scintillators of CsI(Tl), BriLanCe 380, Doppler effect.